

北大・工学部 正員 O黒木 幹男
 北大・工学部 正員 岸 力
 北海道庁 正員 岡部 和憲

1. はじめに 南水路に発生する縦渦の卓越波長とその流の構造を理論的に解析し、これにホフトケルン流運針を用いて、流速・レイノルズ数を測定し、理論との比較を行なった。

2. 基礎方程式 縦渦の正の基本流の流速 $\bar{v} = Q + Q' = \{U(z) + u', v', w'\}$ と微小の変動成分 $\tilde{v} = \{u, v, w\}$ とを加え、縦渦流の流速を $v = \bar{v} + \tilde{v}$ と表わす。これを Reynolds の方程式に代入し、基本流の関数と差引くと、変動成分に対する運動方程式は

$$\frac{\partial \tilde{v}}{\partial t} + (Q \cdot \nabla) \tilde{v} + (\tilde{v} \cdot \nabla) Q = \nabla \tilde{T}_{ij} \quad (1)$$

但、 \tilde{T}_{ij} は Reynolds stress の変動成分であり、渦粘性係数を μ の二次式の形で表わすことと仮定する。

$$\tilde{T}_{ij} = \frac{\mu}{\text{Re} h} \left(\frac{\partial \tilde{v}_i}{\partial x_j} + \frac{\partial \tilde{v}_j}{\partial x_i} \right) \quad (2)$$

座標軸は主流方向に x 、横断方向に y 、鉛直方向に z とし、 x 方向に流は homogeneous と仮定する。よって $\frac{\partial}{\partial x} - \tilde{T}_{xy} = \mu \frac{\partial}{\partial x}$ の関係は仮定し、 $y-z$ 方向の運動方程式から x 方向の渦度式に変形する。更に、stream function $\tilde{\psi}$ を導入して整理すると、 $y-z$ 平面での連立微分方程式を得る。

$$\frac{\partial \tilde{u}}{\partial t} - \frac{dU}{dz} \frac{\partial \tilde{\psi}}{\partial y} = \frac{1}{\text{Re}} \nabla^2 \tilde{u} \quad (3)$$

$$-\frac{\partial}{\partial t} \nabla^2 \tilde{\psi} + \frac{1}{\text{Re}} \left(\frac{\partial^2}{\partial y^2} - \frac{\partial^2}{\partial z^2} \right) \tilde{\psi} = \frac{1}{\text{Re}} \frac{\partial^2 \tilde{u}}{\partial y^2} \quad (4)$$

$$\text{但、 } \tilde{v} = \frac{\partial \tilde{\psi}}{\partial z}, \quad \tilde{w} = -\frac{\partial \tilde{\psi}}{\partial y}, \quad \nabla^2 = \frac{\partial^2}{\partial y^2} + \frac{\partial^2}{\partial z^2}, \quad \text{Re} = \frac{u_0 h}{\nu} = \text{const.} \quad (5)$$

3. 卓越波長 上式の解を $\tilde{u}(y, z, t) = \hat{u}(z) \cos ky \cdot e^{\sigma t}$, $\tilde{\psi}(y, z, t) = \hat{\psi}(z) \sin ky \cdot e^{\sigma t}$ と置く。

$$[D^2 - (k^2 + \sigma \text{Re})] \hat{u} = -k \text{Re}^2 (1-z) \hat{\psi} \quad (6)$$

$$[D^4 + (2k^2 - \sigma \text{Re}) + k^2(k^2 + \sigma \text{Re})] \hat{\psi} = -k D^2 \hat{u} \quad (7)$$

ここで、 $z=0$ の境界条件 $\hat{\psi}(0) = \hat{\psi}(1) = D^2 \hat{\psi}(0) = D^2 \hat{\psi}(1) = 0$, $D \hat{u}(0) = D \hat{u}(1) = 0$ を許し解く。 $\hat{\psi}$ は $z=0$ の境界条件を先ず満たす $\hat{\psi}(z) = \sum_{n=1}^{\infty} C_n \sin n\pi z$ (8) とおき、(6)式に代入して \hat{u} を z の関数として解く。

$$\hat{u}(z) = k \text{Re}^2 \sum_{n=1}^{\infty} \frac{C_n}{a^2 + (n\pi)^2} \left[\frac{n\pi}{a} \cdot \frac{\cosh a(1-z)}{\sinh a} + (1-z) \sin n\pi z - \frac{2n\pi}{a^2 + (n\pi)^2} \cdot \cos n\pi z \right] \quad (9)$$

$$\text{但、 } a = \sqrt{k^2 + \sigma \text{Re}}$$

(9), (9)式を(7)式に代入して整理すると、係数 $C_m / (a^2 + m^2 \pi^2)$ に関する連立方程式を得る。

$$\left\| \frac{m n \pi}{a(a^2 + n^2 \pi^2)} \cdot \frac{(-1)^{n+1} + \cosh a}{\sinh a} + \frac{\sum_{n=1}^{\infty} \frac{a^2 + n^2 \pi^2}{(a k \text{Re})^2} \cdot [(n\pi)^4 - (3k^2 - a^2)(n\pi)^2 + k^2 a^2] + X_{nm} \right\| \frac{C_m}{a^2 + m^2 \pi^2} = 0 \quad (10)$$

但、 m, n は整数、 $\sum_{n=1}^{\infty}$ は n が 1 から ∞ までの和、 X_{nm} は m, n に $z=0$ での境界条件を代入して得られる。

$\hat{u}, \hat{\psi}$ は 0 以外の任意の解が存在する正の σ は、(10)式を $z=0$ の境界条件を代入して得られる。

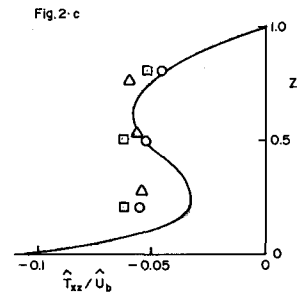
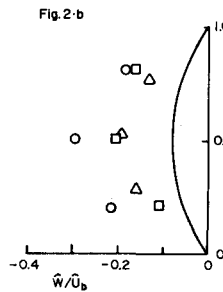
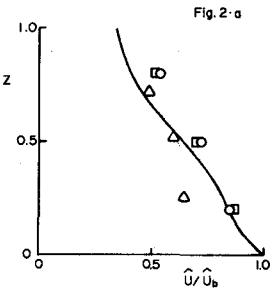
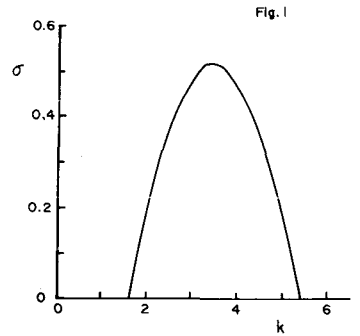
この条件式中の110ラメータは液散率と増中率 σ であり、 k は δ の向の充てん率関係を示す。第1次近似として、マトリックスの(1-1)エレメント ϵ におきて、図-1に示す非対称関係式得られる。

増中率 σ は明らかな δ^{-1} と有し σ は、 σ の極大値は概ね δ の半減液散率を示す。極大値は $\delta = \pi$ であり、これは実験的に知られた δ の値と、縦渦は液体水深の2倍程度の長さの帯状成長を示すことを理論的に示す。

4. 流線の構造 次に縦渦が十分に発達した定常状態の流線の構造について示す。この場合、速度や剪断力の変動の振幅は無視できなく \hat{u} に関する境界条件 $\hat{u}(0) = \hat{u}_0$, $D\hat{u}(1) = 0$ の形に変える。同じ円環系過程を設け、係数は次式が与えられる。

$$\left\| \frac{2m\pi}{k^2 + m^2\pi^2} \frac{n\pi}{k^2 + n^2\pi^2} \frac{(-1)^{n+1} + \cosh k}{\cosh k} + X_{nm} + \frac{\delta_{nm}}{2} \frac{k^2 + m^2\pi^2}{k^2 R_0^2} [(n\pi)^2 - k^2]^2 \right\| \left\| \frac{C_m}{k^2 + m^2\pi^2} \right\| = \left\| -\frac{\hat{u}_0}{k R_0^2} \frac{n\pi}{k^2 + n^2\pi^2} \frac{(-1)^{n+1} + \cosh k}{\cosh k} \right\| \quad (11)$$

k に前節の k 及び σ の値を代入し、上式より係数を決めた後、 \hat{u} , $\hat{\varphi}$ が決定されることになる。



本解析モデルでは、従来の縦渦理論^{1),2)}の仮定、剪断力の分布形を仮定するに代り、 \hat{u} , $\hat{\varphi}$ などの変動量相互の関係を理論的に求めるとして示されることになる。図-2には、 \hat{u}_0 を標準化した変動成分の振幅の鉛直方向分布を、理論値と実験値³⁾とを比較して示す。

図-3には、縦渦の回転方向と \hat{u} と $\hat{\varphi}$ の横断方向分布の関係を示す。従来のモデルでは、縦渦の上昇部で \hat{T}_{xx} が平均より小さくならず、実験値の傾向を説明できなかった。本モデルでは図中の実験値と同様に、上昇部で \hat{T}_{xx} は平均値より小さくならず、 \hat{u} は平均値より小さくならず、縦渦流線の構造を合理的に説明できた。

本研究の一部は、文部省科学研究費(総合A, 代表吉川春夫)の援助を受けた。また実験計算は15当時本学学生・寺田 弘君の協力を得た。ここに記して謝意を表す。

参考文献

- 1) 林 泰造・山田正, 「流体路に於ける縦渦の形成に関する研究」 21回水誌, 1977
- 2) S. Ikeda, "Secondary Circulation in Straight Channels" 橋本工. 研究報告, 1976
- 3) 黒木 幹男・若井 力 「河床液上流線の縦渦の構造について」, 34回水誌, 1979

Fig. 3

